

1 緒言

軟弱地盤上の構造物がたきえない二次圧密による残留圧下を生じることはある。最近の観測的手法の進歩により施設の情報から将来圧下を予測する方法が有力視されているが、例えば実地のような場合のように、構造物によっては事前の正確な予測が要求され、残留圧下が厳しく規制されることもある。

一方、二次圧密や連続圧密を受けた地盤は正規圧密状態よりも強度や支持力を増し、より安定になつていると想像される。とはいっても、このような地盤の安定や変形の解析にどのようなバラメータを選擇すべきかについては余り明らかではない。地震時のような動的外力に対する構造物の安定性を議論するうえからも、このことは重要な側面を有しているとも言えよう。

以下では、二次圧密によつてもたらされた地盤の圧下と強度を評価する際の問題点について議論してみた。

2 二次圧密による地盤の強度

先に著者は二次圧密を含めた軟弱地盤の圧密圧下を算定する実用モデルを提案した。それによると、瞬時圧縮と連続圧縮による圧下は ϵ_i と ϵ_d とは次式

$$\epsilon_i = \frac{C_c}{1+e_0} \log \left(1 + \frac{\Delta p}{p'_0} \cdot D_o \right) \quad (1)$$

$$\begin{aligned} \epsilon_d &= \frac{C_d}{1+e_0} \log \left(\frac{H}{H^*} \right)^n \log \left(1 + \frac{\Delta p}{p'_0} \cdot D_o \right) \\ &\quad + C_d \log \frac{t_f}{t_0} \end{aligned} \quad (2)$$

と表わせる。 ϵ_i , ϵ_d , C_c , C_d : 圧縮指數, 二次圧密指數, H , H^* : 基土層厚, 基準地盤層厚(通常, 2cm), n : 正の実数, D_o : 加力に関する圧密度である。

$\epsilon_i = 32\%$ 、一般に C_c を用いた圧密圧下計算においては他の方法に比べて過大な圧下量となる傾向がある。

よしは、以下のような理由にさへい。

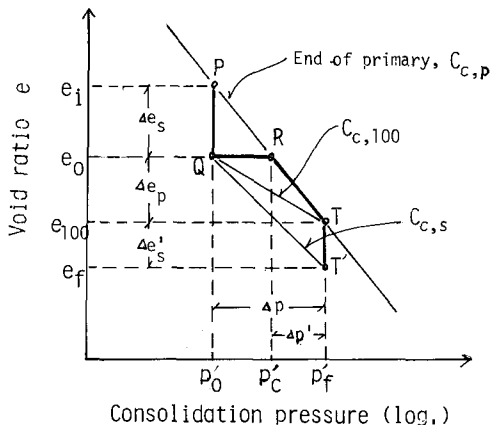


図-1 $e - \log p'$ 関係の模式図

いま、図-1における、圧密試験のある段階において、 p'_0 なる圧密荷重で一定時間(通常は 24 hrs.)圧密されたのち、 $\Delta p (= p'_f - p'_0)$ なる増加荷重をかけたところと、このとき供試体の仮想状態経路は $Q \rightarrow R \rightarrow T$ である。それゆえ、一次圧密圧下計算に用いられる圧縮指數は $C_{c,p}$ である。しかしながら、式(1)における p'_0 は p'_c であり、 Δp は $p'_f - p'_c$ ではなく、 $p'_f - p'_c$ ではないはずだ。すなはち、式(1)は誤っている。

$$\epsilon_i = \frac{C_{c,p}}{1+e_0} \log \left[1 + \frac{(p'_f - p'_c)}{p'_c} \cdot D_o \right] \quad (1-a)$$

が正しい瞬時圧縮の伴(面式)となる。上式の p'_c は村上(1980)²⁾による

$$p'_c = \beta \cdot p'_0 \cdot \left(\frac{t_f}{t_0} \right)^{\frac{R}{1-R}} \quad (3)$$

によつて求めらる。

このように、もし、式(1)の形で一次圧密量を求めるとしても圧密試験によつて得らるる圧縮指數 $C_{c,s}$ ではなく、

$C_{c,100}$ を用いなければならぬ。すなはち、式(1)の C_c は $C_{c,s} (\div C_{c,p})$ ではなく、 $C_{c,100} (= r C_{c,s}, r: \text{一次圧密比})$ であることから、式(1)は次式となる。

$$\varepsilon_i = \frac{r C_{c,s}}{1+\epsilon_0} \log \left(1 + \frac{\Delta p}{p_0} D\sigma \right) \quad \dots \quad (4)$$

式(4)と式(3)とは等しくなければならない。このようにすれば、一次圧密における定義において体積圧縮係数 $M_{v,100}$ を用いて次式

$$\varepsilon_i = M_{v,100} \cdot (p'_f - p'_o) D\sigma \quad \dots \quad (5)$$

に好値を大きく異なることはない。

次に、压密圧縮に実験式(2)では、 C_d の選択が重要である。³⁾ Mesri は C_d は初期含水比 W_0 によつて一般的に決まるとして、二の関係は大きめの C_d を決めるには有用であるが、少く正確な値を求めるときには無力である。そこで、粘土の性質を相対的に表現しうるインディクタとして液性指数 I_L を選び、これまで著者の研究室で用いてきた粘土試料の $C_d \sim I_L$ 関係を整理してみると図-2 が得られた。これによれば C_d は最も I_L の

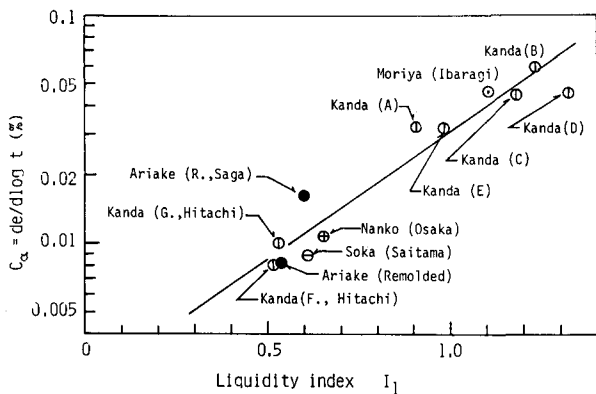


図-2 液性指数による重ねた二次圧密係数
関係を示す図である。左側に示すように、⁴⁾ C_d/C_c は I_L とユニークな関係にあることを示してある。

③ 二次圧密による非排水せん断強度の増加

一般に長時間圧密を施した土ほど非排水せん断強さは増加すると考えられる。一次圧密が終了して、いかにも

Normally Young clay の強度 S_{uy} から Normally aged clay の強度 S_{ua} を推定する方法を

$$\frac{S_{ua}}{S_{uy}} = \left(\frac{t_1}{t_0} \right)^R \quad \dots \quad (6)$$

なる関係を導いた。その後の考察によつて 三田地ら⁶⁾ が提案し、支持される過圧密土の強度評価式

$$\frac{(S_{uy}/p')_{oc}}{(S_{uy}/p')_{nc}} = n^{\lambda}, \quad (\lambda: \text{定数}) \quad (7)$$

に式(3)から導かれる

$$n = \frac{p'_c}{p'_o} = \beta \left(\frac{t_1}{t_0} \right)^{\frac{R}{1-\lambda}} \quad \dots \quad (8)$$

を代入して、

$$\frac{S_{ua}}{S_{uy}} = \beta \left(\frac{t_1}{t_0} \right)^{R \frac{\lambda}{1-\lambda}} \quad \dots \quad (9)$$

を得た。これが長時間圧密を施した土の強度増加率 $(m)_{oc}$ は、次式となる。

$$(m)_{oc} = \frac{S_{ua}}{p_o} = \left(\frac{S_{uy}}{p_o} \right) \cdot \beta \cdot \left(\frac{t_1}{t_0} \right)^{R \frac{\lambda}{1-\lambda}} \\ = (m)_{nc} \cdot \beta \cdot \left(\frac{t_1}{t_0} \right)^{R \frac{\lambda}{1-\lambda}} \quad (10)$$

上式中に含まれるパラメーター、 R 、 λ 、 λ はいつれも比較的容易に室内試験から決めるので、二次圧密を施した土の強度を予測する上で役に立ちうると思われる。ただし、地盤の地盤では堆積年代が不明なことが多いので、さらにいくつかの仮定を設げて、式(10)を簡略化すると

$$\frac{S_{ua}}{p_o} = (m)_{nc} \cdot \left\{ \beta \exp \left[\frac{G_s (W_L - W_0)}{43.4 C_c (1-\lambda)} \right] \right\}^{\lambda} \quad (11)$$

なる式が導かれる。式において、 G_s : 粒子充填率、 W_L : 液性限界である。

④ 結言

二次圧密は土の圧密せん断をつなぐ上で重要な役割を果しているけれども、せんじまと地盤の変形や安定解析に際してその効果は見逃かざる勝手である。この意味で、ここで示す基礎的な考察をさらに現地盤へ適用して新しく議論に展開させたい。また、動的物性に対する長時間効果についても検討を計画していくことを付記する。

引用文献

- 1) K. Yasuhara (1982): S & F, Vol.22, No. 4, 2)
- 2) Murakami, Y. (1980): S & F, Vol. 20, No. , 3)
- 3) Mesri, G. (1973): Proc. ASCE, SM 1 , 4) 安川 (1983): 第18回土壤工学会, 5) 安川 (1983): 土学会西部支部, 6) Mitachi et al. (1976): S and F, Vol. 16.